

# F 789 – Mecânica Quântica II

1º Semestre de 2023

22/05/2023

Aula 20

# Aulas passadas

Hamiltoniano do átomo de hidrogênio analisado no cap. 6:

$$H_0 = \frac{\mathbf{P}^2}{2m} + V(R) \quad V(R) = -\frac{q^2}{4\pi\epsilon_0} \frac{1}{R} = -\frac{e^2}{R}$$

Velocidades típicas:  $\frac{v}{c} \sim \alpha \equiv \frac{e^2}{\hbar c} = \frac{1}{137} \approx 10^{-2}$

Correções relativísticas da ordem de  $\alpha^2 H_0 \sim 10^{-4} H_0$ : Hamiltoniano de estrutura fina.

$$W_f = W_{mv} + W_{SO} + W_D$$

$$W_{mv} = -\frac{\mathbf{P}^4}{8m^3c^2}$$

(correção à energia cinética)

$$W_{SO} = \frac{1}{2m^2c^2} \frac{1}{R} \frac{dV(R)}{dR} \mathbf{L} \cdot \mathbf{S} = \frac{e^2}{2m^2c^2} \frac{1}{R^3} \mathbf{L} \cdot \mathbf{S}$$

(interação spin-órbita)

$$W_D = \frac{\hbar^2}{8m^2c^2} \nabla^2 V(R) = \frac{\pi e^2 \hbar^2}{2m^2c^2} \delta^{(3)}(\mathbf{R})$$

(interação de contato de Darwin)

# Aula passada

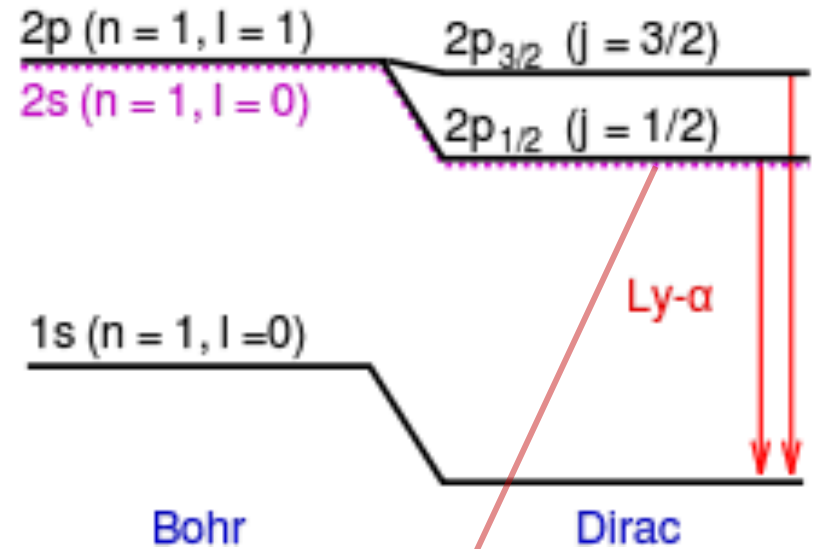
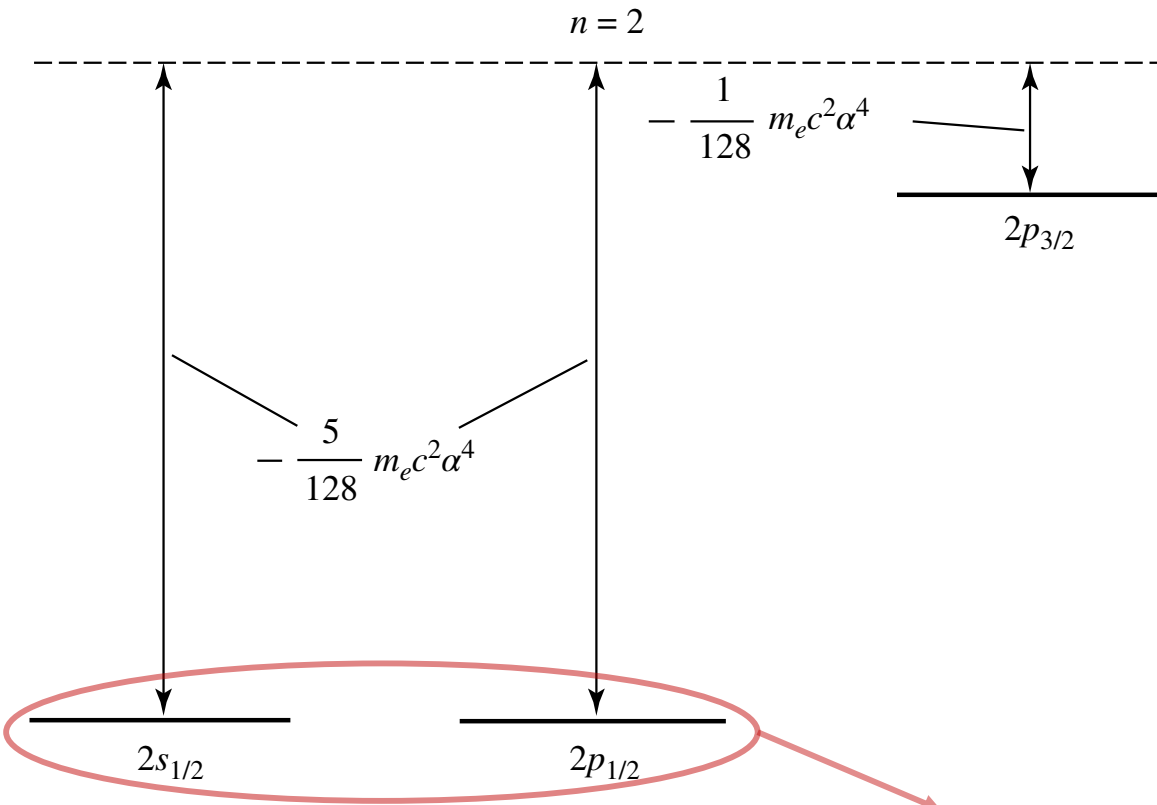
A estrutura fina do nível  $n=2$ :  $l=0,1$ ,  $s=1/2 \Rightarrow j=1/2$  ou  $3/2$

$$W_f^{(2)} = mc^2 \alpha^4 \begin{pmatrix} \boxed{\begin{matrix} -\frac{5}{128} & 0 \\ 0 & -\frac{5}{128} \end{matrix}} & & & & \\ & \boxed{\begin{matrix} -\frac{5}{128} & 0 \\ 0 & -\frac{5}{128} \end{matrix}} & & & \\ & & \boxed{\begin{matrix} -\frac{1}{128} & 0 & 0 & 0 \\ 0 & -\frac{1}{128} & 0 & 0 \\ 0 & 0 & -\frac{1}{128} & 0 \\ 0 & 0 & 0 & -\frac{1}{128} \end{matrix}} & & \\ & & & & \end{pmatrix}$$

$2s_{1/2} (l=0, s=1/2, j=1/2)$        $2p_{1/2} (l=1, s=1/2, j=1/2)$   
↓  
 $2p_{3/2} (l=1, s=1/2, j=3/2)$

# Aula passada

A estrutura fina do nível  $n=2$



Essa degenerescência persiste em todas as ordens: energias só dependem de  $n$  e  $j$  (eq. de Dirac)

# Aulas passadas

Efeitos do spin do próton **I**:  $\mathbf{M}_I = g_p \frac{\mu_n}{\hbar} \mathbf{I}$

$$g_p \approx 5.585$$

$$\mu_n = \frac{q\hbar}{2M_p}$$

$$M_p \approx 1800 m$$

$$\mu_B = \frac{q\hbar}{2m}$$

Hamiltoniano hiperfino:

$$W_{hf}^{(1)} = \frac{\mu_0}{4\pi} \frac{q}{mR^3} \mathbf{L} \cdot \mathbf{M}_I$$

(campo magnético criado pelo **movimento orbital do elétron** atuando no momento magnético do próton)

$$W_{hf}^{(2)} = -\frac{\mu_0}{4\pi} \frac{1}{R^3} [3 (\mathbf{M} \cdot \hat{\mathbf{n}}) (\mathbf{M}_I \cdot \hat{\mathbf{n}}) - \mathbf{M} \cdot \mathbf{M}_I]$$

(interação **dipolo magnético-dipolo magnético**)

$$W_{hf}^{(3)} = -\frac{2\mu_0}{3} \mathbf{M} \cdot \mathbf{M}_I \delta^{(3)}(\mathbf{R})$$

(interação dipolo magnético do elétron com o **campo magnético dentro do próton**)

$$W_{hf} \sim \frac{m}{M_p} W_f \approx 10^{-3} W_f$$

# A estrutura hiperfina do nível $1s$

ESTADOS :  $|n=1, l=0, m=0, m_S = \pm \frac{1}{2}, m_I = \pm \frac{1}{2}\rangle$

DEGENERESCÊNCIA :  $g_{1s} = 4$

SIMPLIFICANDO A NOTACÃO :  $|m_S, m_I\rangle \rightarrow 4 \times 4$

PRECISO ACHAR  $\langle m'_S, m'_I | W_h | m_S, m_I \rangle$

# A estrutura fina do $1s$

$$W_{mv} = -\frac{P^4}{8m^3c^2}$$

$$W_{SO} = \frac{1}{2m^2c^2} \frac{1}{R} \frac{dV(R)}{dR} \mathbf{L} \cdot \mathbf{S} = \frac{e^2}{2m^2c^2} \frac{1}{R^3} \mathbf{L} \cdot \mathbf{S}$$

$$W_D = \frac{\hbar^2}{8m^2c^2} \nabla^2 V(R) = \frac{\pi e^2 \hbar^2}{2m^2c^2} \delta^{(3)}(\mathbf{R})$$

$W_{mv}$  SÓ ATUA NA PARTE ORBITAL DO ELÉTRON

$$\Rightarrow \propto \mathbb{1}_{4 \times 4}$$

$W_D$  TAMBÉM SÓ ATUA NA PARTE ORBITAL

$$\propto \mathbb{1}_{4 \times 4}$$

$$W_{SO} : L_x S_x + L_y S_y + L_z S_z \quad \mathbb{E}$$

$$\langle n=1, l=0, m=0 | L_i | n=1, l=0, m=0 \rangle = 0$$

NO FINAL:

$$\langle W_f \rangle = -\frac{mc^2 \alpha^4}{8} \mathbb{1}_{4 \times 4}$$

SÓ UM DESLO-  
CAMENTO GLOBAL  
DE ENERGIA

# Atuação do Hamiltoniano hiperfino no $1s$

$$W_{hf}^{(1)} = \frac{\mu_0}{4\pi} \frac{q}{mR^3} \mathbf{L} \cdot \mathbf{M}_I \propto \frac{1}{R^3} \vec{L} \cdot \vec{I}$$

$$W_{hf}^{(2)} = -\frac{\mu_0}{4\pi} \frac{1}{R^3} [3(\mathbf{M} \cdot \hat{\mathbf{n}})(\mathbf{M}_I \cdot \hat{\mathbf{n}}) - \mathbf{M} \cdot \mathbf{M}_I]$$

•  $\langle \mu=1, \ell=0, m=0 | \frac{1}{R^3} \vec{L} \cdot \vec{I} | \mu=1, \ell=0, m=0 \rangle = 0 \checkmark$

•  $\hat{\mathbf{n}}$  = UNITÁRIO QUE VAI DO PRÓTON AO ELÉTRON

$$\hat{\mathbf{n}} = \cos\theta \cos\phi \hat{\mathbf{x}} + \cos\theta \sin\phi \hat{\mathbf{y}} + \sin\theta \hat{\mathbf{z}}$$

$$\langle W_{hf}^{(2)} \rangle \propto \int_0^\infty \frac{r^2 dr}{r^3} \int d\Omega \underbrace{\psi_{100}^*(\vec{r})}_{Y_{00}^*(\Omega)} \underbrace{\psi_{200}(\vec{r})}_{Y_{20}(\Omega)} [3(\mathbf{M} \cdot \hat{\mathbf{n}})(\mathbf{M}_I \cdot \hat{\mathbf{n}}) - \mathbf{M} \cdot \mathbf{M}_I]$$

A INTEGRAL ANGULAR SE ANULA

$$\frac{1}{\sqrt{4\pi}}$$

$$\frac{1}{\sqrt{4\pi}}$$



$$W_{hf}^{(3)} = -\frac{2\mu_0}{3} \mathbf{M} \cdot \mathbf{M}_I \delta^{(3)}(\mathbf{R}) = \left(-\frac{2\mu_0}{3}\right) \left(-\frac{q}{m}\right) \left(\frac{g_F q}{2M_P}\right) \vec{S} \cdot \vec{I} \delta^{(3)}(\vec{R})$$

A PARTE ORBITAL E':

$$\langle n=1, l=0, m=0 | \delta^{(3)}(\vec{R}) | n=1, l=0, m=0 \rangle$$

$$= \int d^3r |R_{10}(r)|^2 \underbrace{|Y_{00}(\Omega)|^2}_{\frac{1}{4\pi}} \delta^{(3)}(\vec{R}) = \frac{|R_{10}(0)|^2}{4\pi} = \frac{1}{4\pi} \frac{4}{a_0^3}$$

$$= \frac{1}{\pi} \frac{\mu^3 e^6}{\hbar^6}$$

$$\mu = \frac{m M_P}{m + M_P} = \frac{m}{1 + \frac{m}{M_P}}$$

JUNTANDO TUDO:

$$\langle W_{hf}^{(3)} \rangle = A \langle m'_S, m'_I | \vec{S} \cdot \vec{I} | m_S, m_I \rangle$$

$$A = \frac{4}{3} g_F \left(\frac{m}{M_P}\right) m c^2 a^4 \left(\frac{1}{1 + m/M_P}\right)^3 \frac{1}{\hbar^2}$$

AGORA, PRECISAMOS DE:

$$\langle m_S', m_I' | \vec{S} \cdot \vec{I} | m_S, m_I \rangle$$

$$\vec{T} = \vec{S} + \vec{I} \Rightarrow T^2 = (\vec{S} + \vec{I})^2 = S^2 + I^2 + 2 \vec{S} \cdot \vec{I}$$

$$\Rightarrow \vec{S} \cdot \vec{I} = \frac{1}{2} [T^2 - S^2 - I^2]$$

MELHOR TRABALHAR NA BASE SOMADA:

$$|S = 1/2, I = 1/2, m_S = \pm 1/2, m_I = \pm 1/2 \rangle \rightarrow |S = 1/2, I = 1/2; F, m_F \rangle$$

ONDE F PODE ASSUMIR:

$$F = 0 ; m_F = 0$$

$$F = 1 ; m_F = -1, 0, +1$$

NA BASE SOMADA:

$$\langle F', m_F' | \vec{S} \cdot \vec{I} | F, m_F \rangle = \frac{\hbar^2}{2} [F(F+1) - S(S+1) - I(I+1)] \times$$

$$\times \underbrace{\langle F', m_F' | F, m_F \rangle}$$

$$\delta_{F', F} \delta_{m_F', m_F} = \mathbb{1}_{4 \times 4}$$

↓  
NA BASE  
SOMADA

SE  $F=0$ :

$$\frac{\hbar^2}{2} \left[ 0 - \frac{3}{4} - \frac{3}{4} \right] = -\frac{3}{4} \hbar^2 \Rightarrow \langle W_{hf} \rangle_{F=0} = -\frac{3}{4} A \hbar^2$$

SE  $F=1$ :

$$\frac{\hbar^2}{2} \left[ 2 - \frac{3}{4} - \frac{3}{4} \right] = \frac{\hbar^2}{4} \Rightarrow \langle W_{hf} \rangle_{F=1} = \frac{1}{4} A \hbar^2$$

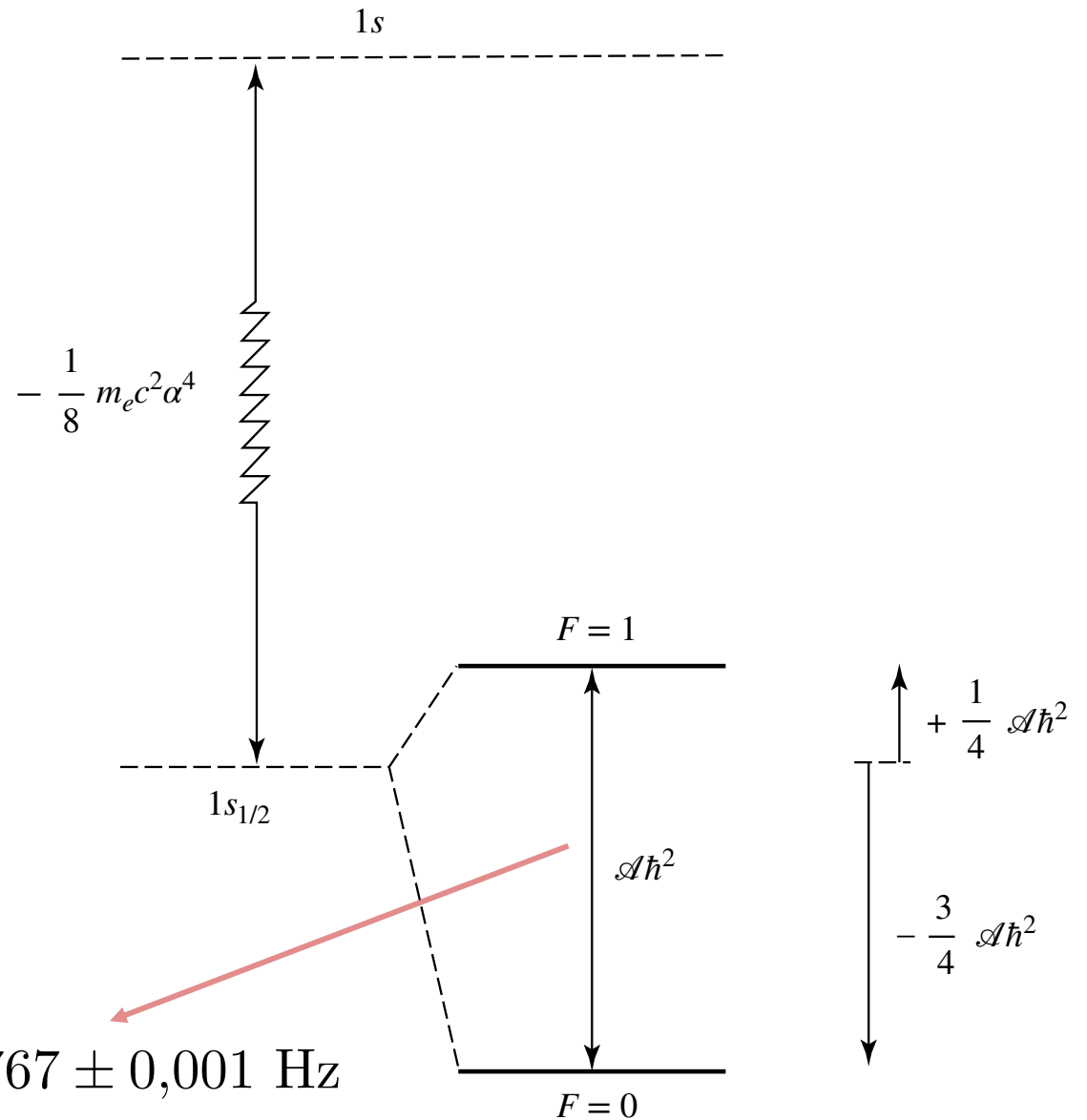
# $W_{hf}$ no nível $1s$

$$W_{hf}^{(1s)} = A \hbar^2 \begin{pmatrix} \boxed{-\frac{3}{4}} & & & \\ & \boxed{\frac{1}{4}} & & \\ & & \boxed{\frac{1}{4}} & \\ & & & \boxed{\frac{1}{4}} \end{pmatrix}$$

$F=0$  → ESTADO FUNDAMENTAL

↳ ESTADO EXCITADO

# A estrutura hiperfina no nível $n=1$



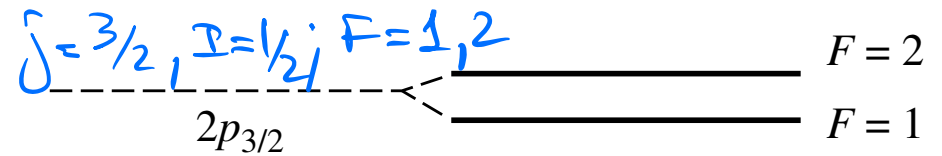
$$f(1S_{1/2}) = \frac{A \hbar}{2\pi} = 1\,420\,405\,751,767 \pm 0,001 \text{ Hz}$$

# A estrutura hiperfina no nível $n=2$

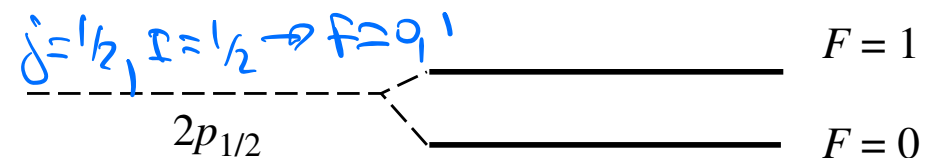
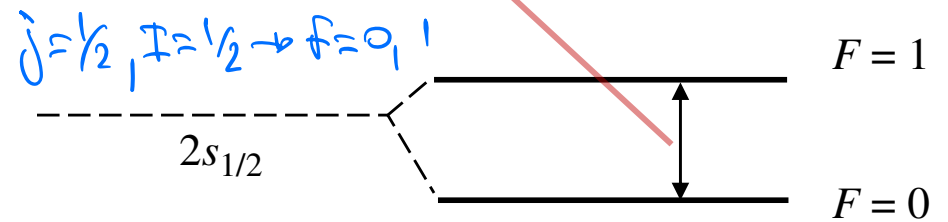
Deslocamento Lamb  
(Eletrodinâmica quântica, QED)

$\Delta E$

$\mathcal{S}$



$$f(2S_{1/2}) = 177\,556\,838.87(85) \text{ Hz}$$



# Artigo da semana passada

PHYSICAL REVIEW LETTERS **130**, 203001 (2023)

Physics

## Ramsey Spectroscopy of the $2S_{1/2}$ Hyperfine Interval in Atomic Hydrogen

R. G. Bullis<sup>1</sup>, C. Rasor, W. L. Tavis, S. A. Johnson, M. R. Weiss<sup>1</sup>, and D. C. Yost<sup>1</sup>  
*Department of Physics, Colorado State University, Fort Collins, Colorado 80523, USA*

 (Received 9 February 2023; accepted 4 April 2023; published 18 May 2023)

The  $2S_{1/2}$  hyperfine interval in atomic hydrogen was measured using Ramsey spectroscopy with a thermal beam cooled to cryogenic temperatures. The measured value is  $177\,556\,838.87(85)$  Hz, which represents the most precise determination of this interval to date. The  $1S_{1/2}$  hyperfine interval  $f(1S_{1/2})$  and the  $2S_{1/2}$  hyperfine interval  $f(2S_{1/2})$  can be combined to give the quantity  $D_{21} = 8f(2S_{1/2}) - f(1S_{1/2})$ , which mostly eliminates uncertainty due to nuclear structure effects and is well described by bound-state quantum electrodynamics. Using the value of  $f(2S_{1/2})$  from this work gives a value of  $D_{21}^{\text{expt}} = 48\,959.2(6.8)$  Hz, which is in agreement with the theoretical value of  $D_{21}^{\text{Theory}} = 48\,954.1(2.3)$  Hz.

$D_{21}$ : essa combinação elimina a maior parte da incerteza sobre a estrutura do núcleo e assim permite um teste preciso da Eletrodinâmica Quântica. A teoria acima dá  $D_{21}=0$ .

# A linha de 21 cm do hidrogênio

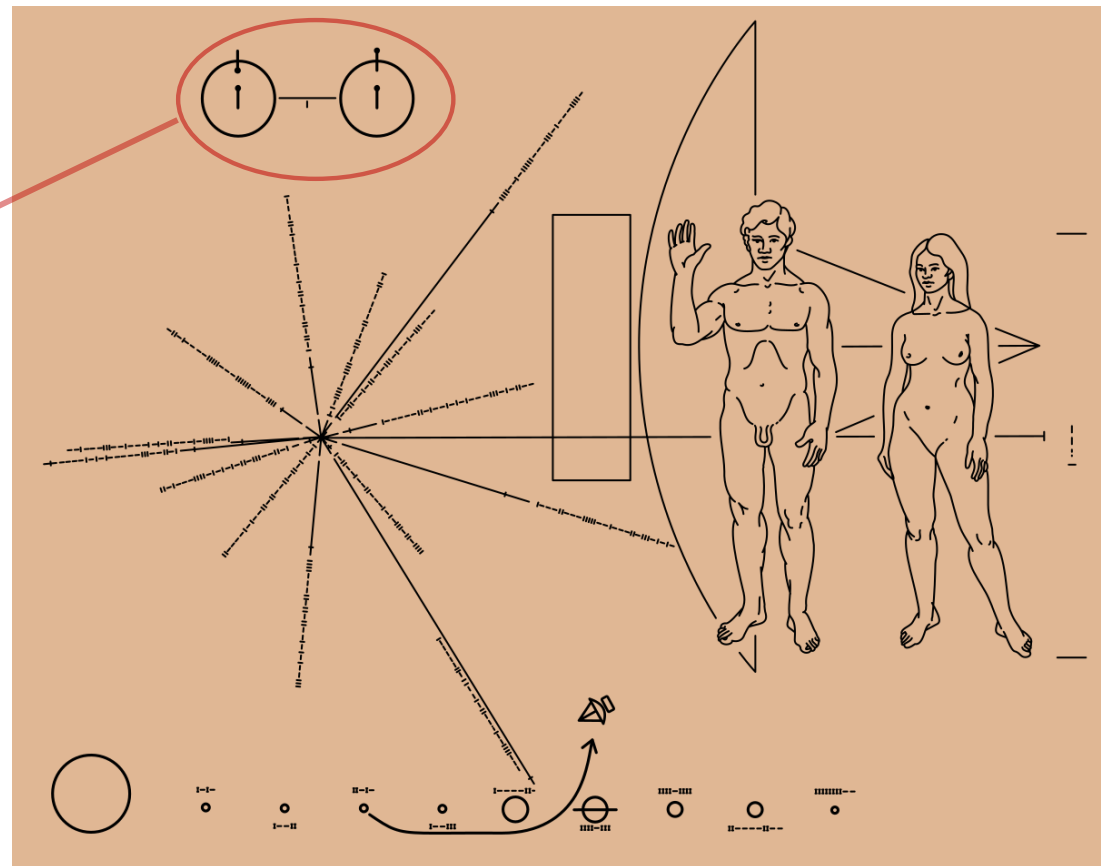
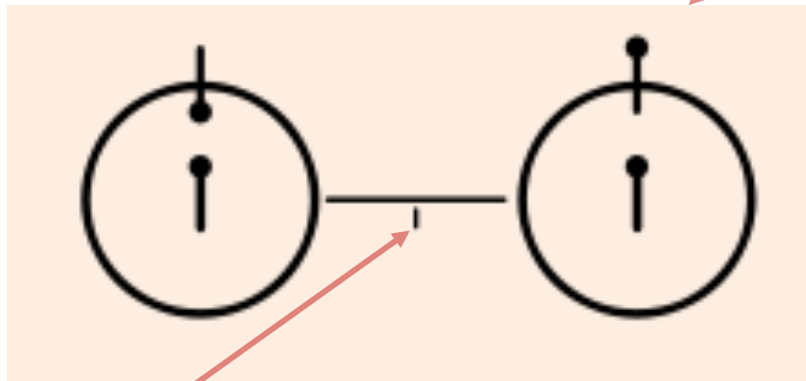
$$\frac{A\hbar}{2\pi} = 1\,420\,405\,751,767 \pm 0,001 \text{ Hz}$$

- Comprimento de onda:  $\lambda = 21 \text{ cm}$
- Detecção em masers de hidrogênio: A PRECISÃO DA MEDIDA DESSA FREQUÊNCIA É CONSEGUIDA NESSES MASERS.
- Detecção em astronomia: HIDROGÊNIO É O ELEMENTO MAIS ABUNDANTE, A RADIAÇÃO DE H NO VISÍVEL É ABSORVIDA POR POEIRA CÓSMICA. A LINHA DE 21CM É POUCO ABSORVIDA.
- Meia-vida longa do estado  $F=1$ :  $\sim 11$  MILHÕES DE ANOS.



# As placas da Pioneer

**Pioneer 10 e 11** foram lançadas em 1972 e 1973, respectivamente. Elas carregam placas que, espera-se, possam ser lidas por uma forma inteligente de vida extraterrestre. Um dos elementos é a **transição hiperfina do átomo de H**. O comprimento de onda de 21 cm é usado como unidade de comprimento e o período como unidade tempo. A mulher mede 8 unidades.



I : representa 1 (sistema binário)  
- : representa 0 (sistema binário)

Distância do Sol ao centro da galáxia

Comprimento e números nas linhas = distâncias e períodos de 14 pulsares em relação ao Sol.

Altura da mulher:  $1000=8=1,68$  m

Trajetoória da Pioneer 1

